

Лабораторная работа №3.2.8  
Релаксационные колебания

Гёлецын А.Г.

9 декабря 2022 г.

**Цель работы:** Изучение вольт-амперной характеристики нормального тлеющего разряда; исследование релаксационного генератора на стабилитроне

## 1 Теоретическая часть

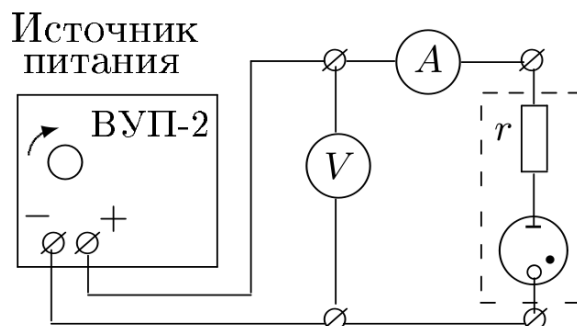


Рис. 1: Схема установки для изучения характеристик стабилитрона

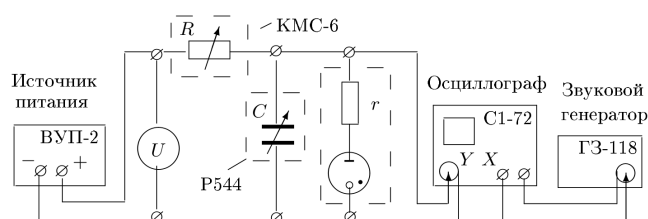


Рис. 2: Схема установки для исследования релаксационных колебаний

Колебательные системы, как правило, имеют два накопителя энергии, между которыми происходит её перекачка. В контуре, содержащем конденсатор и катушку индуктивности, электрическая энергия переходит в магнитную и обратно.

Встречается, однако, колебательные системы, содержащие всего один накопитель энергии. Рассмотрим в качестве примера электрическую цепь, содержащую конденсатор и сопротивление без самоиндукции. Разряд конденсатора через сопротивление представляет собой аperiodический процесс. Разряду, однако, можно придать периодический характер, возобновляя заряд конденсатора через постоянные промежутки времени. Колебания в этом случае являются совокупностью двух аperiodических процессов — процесса зарядки конденсатора и процесса его разрядки.

В нашей установке роль «ключа», обеспечивающего попеременную зарядку и разрядку конденсатора, играет газоразрядный диод. Зависимость тока от напряжения для газоразрядной лампы не подчиняется закону Ома и характеризуется рядом особенностей. При малых напряжениях лампа практически не пропускает тока. Ток в лампе возникает только в том случае, если разность потенциалов на её электродах достигает напряжения зажигания  $V_1 = V_{\text{зж}}$ . При этом скачком устанавливается конечная сила тока  $I_1$  — в лампе возникает нормальный тлеющий разряд. При дальнейшем незначительном увеличении напряжения сила тока заметно возрастает по закону, близкому к линейному. Нормальный тлеющий разряд — стабилизатор напряжения, отсюда второе название лампы — стабилитрон.

Если начать уменьшать напряжение на горячей лампе, то при напряжении, равном  $V_{\text{зж}}$ , лампа ещё не гаснет, а сила тока продолжает уменьшаться. Лампа перестаёт пропускать ток лишь при напряжении гашения  $V_2 = V_{\text{гаш}}$ , которое обычно существенно меньше  $V_{\text{зж}}$ . Сила тока при этом скачком падает от значения  $I_2$  ( $I_2 < I_1$ ) до нуля.

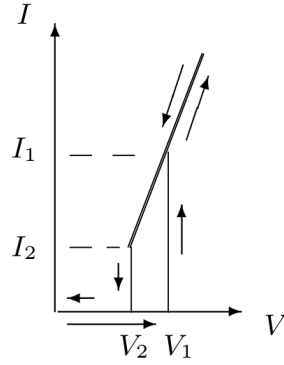


Рис. 3: Вольт-амперная характеристика стабилизатора с последовательно включённым резистором

Изображённая выше вольт-амперная характеристика несколько идеализированна. У реальной лампы зависимость  $I(V)$  не вполне линейна. При  $V > V_{\text{зж}}$  графики, соответствующие возрастанию и убыванию напряжения, не всегда совпадают. Эти отличия, впрочем, носят второстепенный характер и для нашей задачи несущественны.

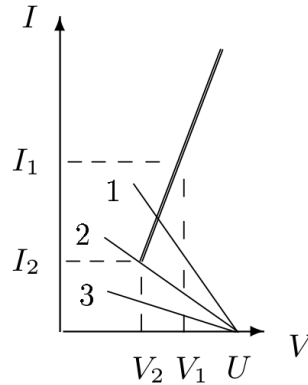


Рис. 4: Режимы работы релаксационного генератора

Рассмотрим схему релаксационного генератора. Пусть напряжение батареи  $U$  больше напряжения зажигания  $V_1$ . В обозначениях, принятых на схеме, справедливо уравнение

$$I_C + I(V) = \frac{U - V}{R},$$

или

$$C \frac{dV}{dt} + I(V) = \frac{U - V}{R}.$$

В стационарном режиме работы, когда напряжение  $V$  на конденсаторе постоянно и  $dV/dt = 0$ , ток через лампу равен

$$I_{\text{ст}} = \frac{U - V}{R}.$$

Это равенство представлено выше графически.

При разных  $R$  графики имеют вид прямых, пересекающихся в точке  $V = U, I = 0$ . Область, где эти нагрузочные прямые пересекают вольт-амперную характеристику лампы, соответствует стационарному режиму — при малых  $R$  (прямая 1) лампа горит постоянно, колебания отсутствуют. Прямая 2, проходящая через точку  $(I_2, V_2)$ , соответствует критическому сопротивлению

$$R_{\text{кр}} = \frac{U - V_2}{I_2}.$$

При сопротивлении  $R > R_{\text{кр}}$  нагрузочная прямая 3 не пересекает характеристику лампы, поэтому стационарный режим невозможен. В этом случае в системе устанавливаются колебания.

Рассмотрим, как происходит колебательный процесс. Пусть вначале опыта ключ  $K$  разомкнут и  $V = 0$ . Замкнём ключ. Конденсатор  $C$  начинает заряжаться через сопротивление  $R$ , напряжение на нём увеличивается. Как только оно достигнет напряжения зажигания  $V_{\text{зж}}$ , лампа начинает проводить ток, причём прохождение тока сопровождается разрядкой конденсатора. В самом деле, батарея  $U$ , подключённая через большое сопротивление  $R$ , не может поддерживать необходимую для горения лампы величину тока. Во время горения лампы конденсатор разряжается, и когда напряжение на нём достигнет потенциала гашения, лампа перестанет проводить ток, а конденсатор вновь начнёт заряжаться. Возникают релаксационные колебания с амплитудой, равной  $(V_1 - V_2)$ .

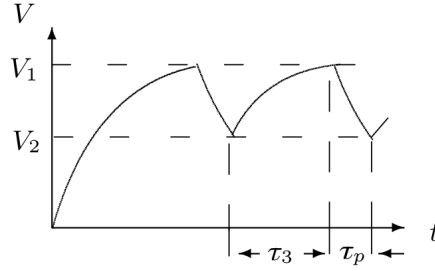


Рис. 5: Осциллограмма релаксационных колебаний

Рассчитаем период колебаний. Полное время одного периода колебаний  $T$  состоит из суммы времени зарядки  $\tau_3$  и времени разрядки  $\tau_p$ , но если сопротивление  $R$  существенно превосходит сопротивление зажжённой лампы, то  $\tau_3 \gg \tau_p$  и  $T \approx \tau_3$ . Во время зарядки конденсатора лампа не горит ( $I(V) = 0$ ), и уравнение приобретает вид

$$RC \frac{dV}{dt} = U - V.$$

Будем отсчитывать время с момента гашения лампы, так что  $V = V_2$  при  $t = 0$ . Решив это уравнение, найдём

$$V = U - (U - V_2)e^{-t/RC}.$$

В момент зажигания  $t = \tau_3$ ,  $V = V_1$ , поэтому

$$V_1 = U - (U - V_2)e^{\tau_3/RC}.$$

Из этих двух уравнений нетрудно найти период колебаний:

$$T \approx \tau_3 = RC \ln \frac{U - V_2}{U - V_1}.$$

## 2 Ход работы

### 2.1 Вольт-амперная характеристика

Для начала измерим вольт-амперную характеристику стабилитрона

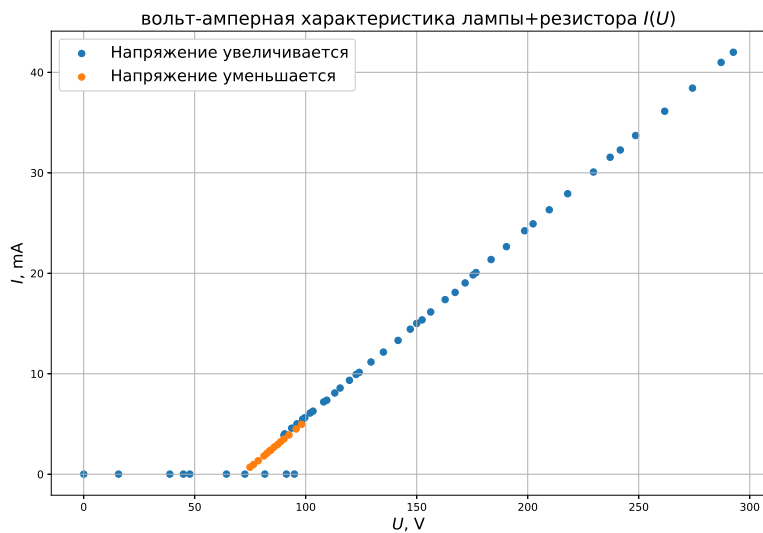


Рис. 6: ВАХ сборки резистор-стабилитрон



Рис. 7: ВАХ стабилитрона

Как видим, ВАХ расщепляется на 2 линии в зависимости от направления изменения напряжения. Так же были измерены потенциалы зажигания и гашения.

$$V_1 = (95.0 \pm 0.5)V$$

$$V_2 = (74.2 \pm 0.2)V$$

## 2.2 Релаксационные колебания

Выставляя напряжение  $U = 118\text{В}$ , емкость  $C = 50\text{нФ}$ , уменьшаем сопротивление до тех пор, пока не перейдем в стационарный режим работы. Таким образом находим  $R_{\text{кр}} \approx 170\text{к}\Omega$ .

Выставляем напряжение  $U = 115\text{В}$ , сопротивление  $R = 500\text{к}\Omega$ , и изучаем зависимость периода от емкости  $C$ .

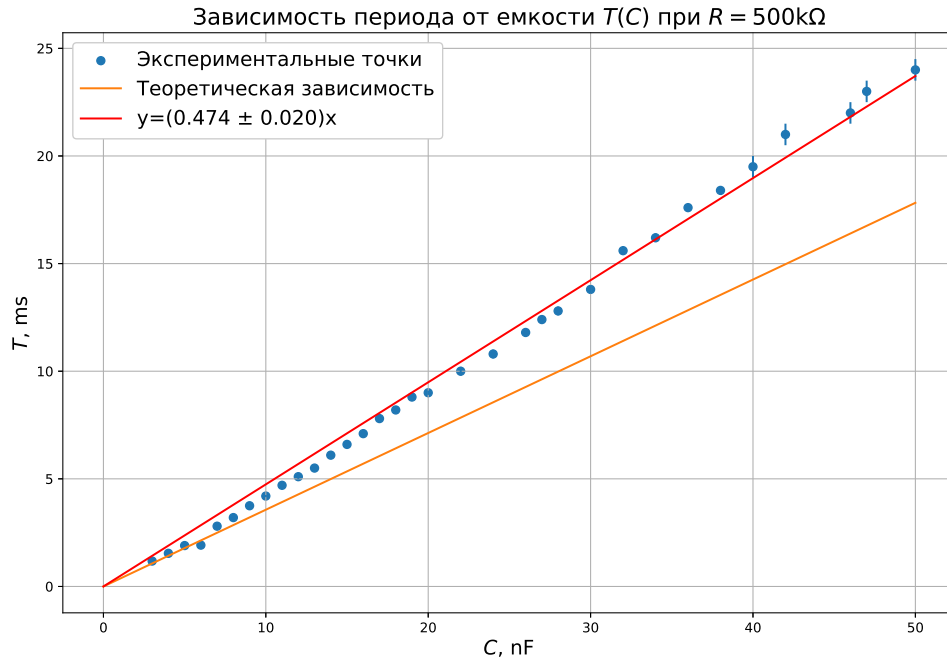


Рис. 8: График зависимости периода от емкости

Как видим, зависимость похожа на линейную, но значения, рассчитанные по теоретической формуле, систематически находятся ниже измеренных напряжений. Если предположить, что это связано только с изменением потенциала гашения в динамическом режиме работы, то из экспериментальных данных можем получить динамический потенциал гашения

$$V_{2,\text{дин}}^{R=\text{const}} = (63.4 \pm 2.0)\text{В}$$

Проделав похожие измерения, фиксируем  $C$  и меняя  $R$  получим другую зависимость. Из тех же самых предположений посчитаем динамический потенциал гашения и в этом случае.

$$V_{2,\text{дин}}^{C=\text{const}} = (59.1 \pm 1.9)\text{В}$$

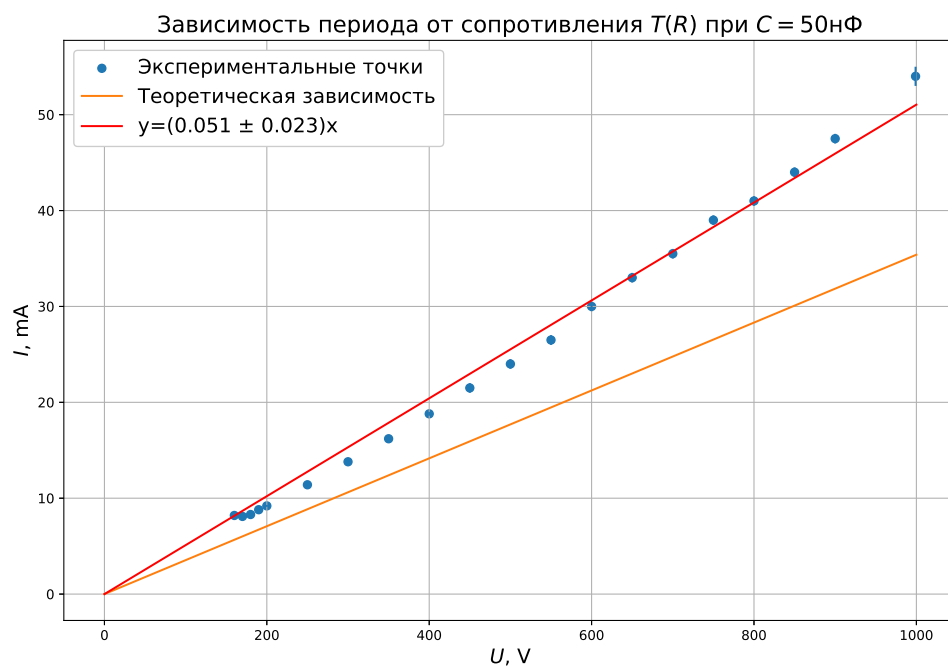


Рис. 9: График зависимости периода от сопротивления

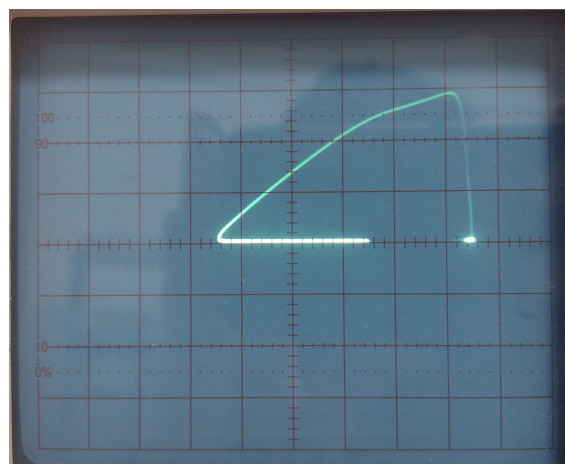


Рис. 10: Фазовая диаграмма  $V - I$  при  $U = 116.0\text{В}$ ,  $C = 50\text{нФ}$ ,  $R = 900\text{к}\Omega$

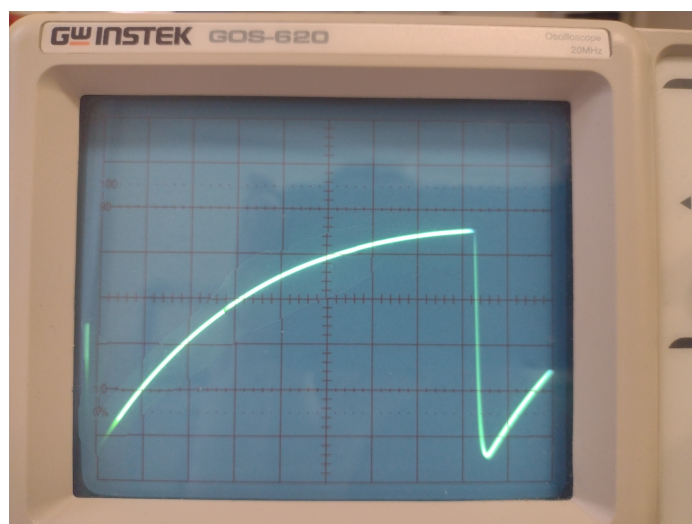


Рис. 11: Осциллограмма автоколебаний

### 3 Выводы

Из ВАХ стабилитрона можем сделать вывод, что стабилитрон работает, и может стабилизировать напряжение. Из результатов видно, что динамический потенциал гашения значительно ( $\sim 10 - 14\text{В}$ ) меньше статического напряжения гашения. В пределах применения теоретической модели наблюдается прямопропорциональная зависимость периода от сопротивления и емкости.